

การวิเคราะห์ประสิทธิภาพของระบบผลิตแก๊สไฮโดรเจนที่ให้พลังงานด้วยระบบ PV/T Efficiency Assessment of a Hydrogen Production System Energized by a PV/T System

บุญย์ฤทธิ์ ประสานทาก้าว^{1*} นานพ แย้มแพ่ง¹ และ อิศกฤตา โลหพรหม²

¹ ห้องปฏิบัติการการเผาไหม้และพลังงานแสงอาทิตย์ (CASE Lab.) คณะวิศวกรรมศาสตร์ มหาวิทยาลัยเทคโนโลยีราชมงคลล้านนา
39 หมู่ 1 ตำบลคลองหัก อำเภอเชียงใหม่ ปทุมธานี 12110

² สาขาวิชาวิศวกรรมเครื่องกล ภาควิชาครุศาสตร์อุตสาหกรรมและเทคโนโลยีศึกษา คณะครุศาสตร์อุตสาหกรรม มหาวิทยาลัยเทคโนโลยีราชมงคลรุ่งเรือง
2 ถนนนาดลินเจี้ย เขตสารท แขวงทุ่งมหาเมฆ กรุงเทพฯ 10120
*ติดต่อ: boonrit.p@en.rmutt.ac.th, 02-5493564

บทคัดย่อ

การปรับปรุงหรือเพิ่มประสิทธิภาพของระบบน้ำหนึ่งเป็นต้องทราบประสิทธิภาพขั้นต้นของระบบก่อนที่จะทำการปรับปรุง รวมถึงต้องทราบจุดอ่อนของระบบเพื่อให้สามารถปรับปรุงได้ตรงจุดซึ่งจะทำให้การดำเนินการปรับปรุงประสิทธิภาพเป็นผลดี บทความนี้นำเสนอผลการวิเคราะห์ประสิทธิภาพของระบบผลิตแก๊สไฮโดรเจนที่ใช้พลังงานไฟฟ้าและความร้อนที่ผลิตมาจากการระบบผลิตไฟฟ้าและน้ำร้อนพลังงานแสงอาทิตย์ (Solar Photovoltaic-Thermal Hybrid System, PV/T) โดยนำเสนอห้องการวิเคราะห์ประสิทธิภาพของระบบย่อยและระบบโดยรวม ระบบย่อยประกอบด้วยระบบ PV/T และระบบผลิตแก๊สไฮโดรเจนด้วยกระบวนการแยกน้ำด้วยไฟฟ้า โดยใช้แผงเซลล์แสงอาทิตย์ทำงานร่วมกับแผงน้ำร้อนพลังงานแสงอาทิตย์แบบเรียบที่ถูกประกอบเป็นชุดเดียวกัน พื้นที่รับแสงรวม 100 ตารางเมตร และใช้น้ำเป็นสารตัวกลาง โดยติดตั้งทำมุกภารณะ 14° และหันหน้าไปทางทิศใต้ เป็นแหล่งป้อนพลังงานไฟฟ้าและความร้อนให้กับกระบวนการแยกน้ำด้วยไฟฟ้า จากผลการศึกษาพบว่า ประสิทธิภาพรวมของระบบย่อยทั้งสองค่อนข้างต่ำใกล้เคียงกันคือประมาณ 7% จึงส่งผลให้ประสิทธิภาพรวมของระบบมีค่าต่ำกว่ามีค่าประมาณ 0.06% เท่านั้น

คำหลัก: การผลิตแก๊สไฮโดรเจน; การแยกน้ำด้วยไฟฟ้า; ระบบผลิตไฟฟ้าและน้ำร้อนร่วมพลังงานแสงอาทิตย์.

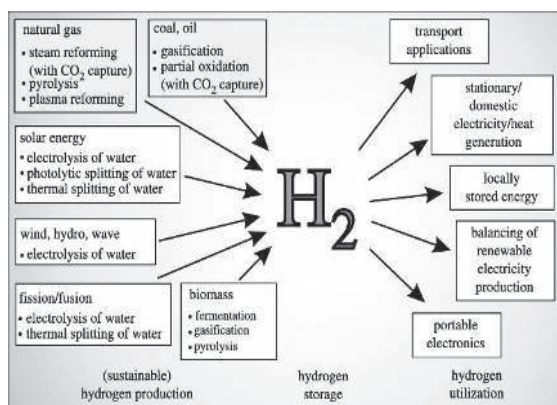
Abstract

To improve the efficiency of any systems, both individual sub-system and also overall-system efficiencies should be firstly known before implementation of effective improving process. This paper presents an experimental study on the efficiency assessment of a hydrogen production system which energized, both electricity and heat, by a Solar Photovoltaic-Thermal Hybrid, (PV/T) system. Both individual sub-system and overall-system efficiencies were presented in this paper. The sub-system consist of a PV/T system and an electrolysis hydrogen production system. The PV/T system used in this study comprise of 75 poly-crystalline Silicon solar photovoltaic modules (total effective area of 100 m²) equipped with built-in solar water heating system. All of collectors has a single glass cover and were tilted at 14° and facing due south. The electricity and hot water from the PV/T system was supplied for the electrolysis hydrogen production reactor. The experimental results show that both mentioned sub-system yielded so low efficiencies about 7% and therefore the overall-system efficiency obtained was also low at about 0.06%.

Keywords: Hydrogen production; Electrolysis; Photovoltaic thermal system.

1. บทนำ

ในช่วงสองสามปีที่ผ่านมาจนถึงปัจจุบัน ไฮโดรเจนได้รับความสนใจเป็นอย่างมากจากนักวิจัยทั่วโลก เนื่องจากไฮโดรเจนเป็นแหล่งพลังงานที่มีศักยภาพสูงในการพัฒนาระบบพลังงานยั่งยืนเพื่ออนาคต ทั้งในด้านการลดมลพิษและแก้ปัญหาภัยคุกคามของพลังงาน และที่สำคัญ แม้ว่าไฮโดรเจนจะไม่สามารถหาได้ในธรรมชาติ แต่มันเป็นเหมือนตัวกลางในการส่งผ่านพลังงานที่สามารถผลิตได้จากหลากหลายแหล่งพลังงานที่แตกต่างกันทั้งพลังงานฟอสซิลและหมุนเวียน กักเก็บด้วยวิธีและระบบที่ไม่ยุ่งยากเมื่อเทียบกับพลังงานไฟฟ้า อีกทั้งสามารถนำไปใช้ประโยชน์ได้หลากหลายรูปแบบโดยไม่ปลดปล่อยมลพิษออกสู่สิ่งแวดล้อม [1] ดังนั้นด้วยคุณสมบัติที่เป็นเหมือนตัวกลางในการส่งผ่านพลังงานได้หลากหลายรูปแบบ พลังงานและสามารถผลิตได้จากวัสดุปื้นที่หลากหลายรวมถึงน้ำที่มีอยู่มากมหาศาลบนโลกใบนี้ จึงทำให้แนวทางการบริหารจัดการพลังงานผ่านวัสดุจักรไฮโดรเจนเป็นแนวทางที่สร้างความสมดุลของแหล่งพลังงานได้เป็นอย่างดีทั้งผู้ผลิตและผู้ใช้พลังงาน นอกจากนี้ ไฮโดรเจนเป็นพลังงานสะอาดที่มีค่าความร้อนสูง [1-5] สามารถนำไปใช้เป็นพลังงานทดแทนในด้านต่างๆ เช่น ใช้เป็นเชื้อเพลิงและเซลล์เชื้อเพลิง (Fuel Cell) เป็นต้น ดังนั้นพลังงานไฮโดรเจนจึงเป็นอีกทางเลือกหนึ่งที่สามารถนำมาใช้เป็นพลังงานทดแทนได้อีกทั้งยังเป็นมิตรกับสิ่งแวดล้อมอีกด้วย ซึ่งแนวทางการผลิต กักเก็บ และการใช้ประโยชน์จากไฮโดรเจนแสดงดังรูปที่ 1



รูปที่ 1 แนวทางการผลิต กักเก็บ และการใช้ไฮโดรเจน [1]

ไฮโดรเจนที่มีอยู่ตามธรรมชาติจะอยู่ในรูปของสารประกอบที่รวมอยู่กับธาตุอื่นๆ เท่านั้น เช่น ออกซิเจน

ในน้ำ คาร์บอนและออกซิเจนในสารอินทรีย์ และเป็นองค์ประกอบของเชื้อเพลิงฟอสซิล เป็นต้น ดังนั้นการผลิตแก๊สไฮโดรเจนส่วนใหญ่จึงเป็นการแยกไฮโดรเจนออกจากสารเหล่านี้โดยการใช้พลังงานในการแยก ซึ่งกระบวนการผลิตที่ดีที่ใช้กันอย่างกว้างขวางคือการแยกน้ำด้วยไฟฟ้า (Electrolysis) ซึ่งจะเห็นได้ว่าเกือบทั้งหมดเป็นการศึกษาด้วยระบบขนาดเล็กในห้องทดลอง

ประเทศไทยตั้งอยู่ประมาณละติจูดที่ 14 องศาเหนือซึ่งใกล้เส้นศูนย์สูตรจึงมีศักยภาพที่จะใช้ประโยชน์จากพลังงานแสงอาทิตย์ได้เป็นอย่างดีและเนื่องจากประเทศไทยมีสภาพอากาศร้อนการใช้ประโยชน์ของพลังงานแสงอาทิตย์ในรูปความร้อนจึงมีประสิทธิภาพสูงกว่าประเทศที่มีสภาพอากาศเย็น ซึ่งหากเพิ่มความเข้มข้นของความร้อนนี้ก็สามารถนำไปใช้ในระบบตันกำลังผลิตกระแสไฟฟ้าได้เช่นเดียวกับเซลล์-แสงอาทิตย์ จากข้อมูลพบว่าประเทศไทยมีศักยภาพพลังงานแสงอาทิตย์สูงคือได้รับรังสีดวงอาทิตย์รายวันเฉลี่ยต่อปีในช่วง 18-20 MJ/m²-day [6]

จากการศึกษาของ [7] ซึ่งได้ศึกษาเชิงทดลองเกี่ยวกับผลของการเปลี่ยนแปลงอุณหภูมิของสารละลายอิเล็กโทรไลต์ต่อสมรรถนะของระบบผลิตแก๊สไฮโดรเจนผ่านกระบวนการแยกน้ำด้วยไฟฟ้า โดยมีการเปลี่ยนแปลงค่าอุณหภูมิสารละลายอิเล็กโทรไลต์ในช่วงอุณหภูมิ 270 ถึง 353 K ผลการศึกษาพบว่า อุณหภูมิของสารอิเล็กโทรไลต์จะปรับตัวตามการผลิตแก๊สไฮโดรเจน

ระบบผลิตไฟฟ้าและน้ำร้อนพลังงานแสงอาทิตย์ เป็นระบบที่ถูกออกแบบมาเพื่อวัตถุประสงค์หลักสองประการ คือ เพื่อลดอุณหภูมิการทำงานของเซลล์แสงอาทิตย์ เนื่องจากประสิทธิภาพการทำงานและอายุการใช้งานของเซลล์แสงอาทิตย์จะแปรผันกับอุณหภูมิ และเพื่อนำความร้อนที่ได้จากการลดอุณหภูมิไปใช้ให้เกิดประโยชน์ซึ่งจะส่งผลให้ประสิทธิภาพโดยรวมของระบบสูงขึ้น

งานวิจัยนี้เป็นการประยุกต์ใช้ข้อดีของระบบ PV/T ที่ผลิตได้ทั้งไฟฟ้าและน้ำร้อนนำมาใช้ในระบบผลิตแก๊สไฮโดรเจนด้วยการแยกน้ำด้วยไฟฟ้า เนื่องจากประสิทธิภาพของระบบนี้จะปรับตัวตามอุณหภูมิของสารละลายอิเล็กโทรไลต์ ซึ่งเป็นการใช้พลังงานที่ผลิตได้จากระบบ PV/T อย่างคุ้มค่าทั้งพลังงานไฟฟ้าและความร้อน โดยทความนี้มีวัตถุประสงค์เพื่อศึกษาเชิงวิเคราะห์เกี่ยวกับประสิทธิภาพของระบบ เพื่อให้ทราบว่าจุดอ่อน

ของระบบอยู่ต่างใน เพื่อให้สามารถปรับปรุงได้ตรงจุด ซึ่งจะทำให้การดำเนินการปรับปรุงประสิทธิภาพเป็นผลดี โดยนำเสนอผลการวิเคราะห์ประสิทธิภาพของระบบทั้ง ระบบย่อยและระบบโดยรวม

2. ระบบและอุปกรณ์ที่ใช้ในการทดลอง

รูปที่ 1 แสดงแผนผังของระบบผลิตแก๊สไฮโดรเจนที่ให้พลังงานด้วยระบบ PV/T ที่ใช้ในการทดลอง ประกอบด้วยระบบย่อย 2 ระบบคือ ระบบผลิตไฟฟ้าและน้ำร้อนร่วมพลังงานแสงอาทิตย์ และระบบผลิตไฮโดรเจน ต้นแบบที่ใช้ในการศึกษานี้ใช้ระบบการแยกน้ำด้วยไฟฟ้า

2.1 ระบบผลิตไฟฟ้าและน้ำร้อนร่วมแสงอาทิตย์

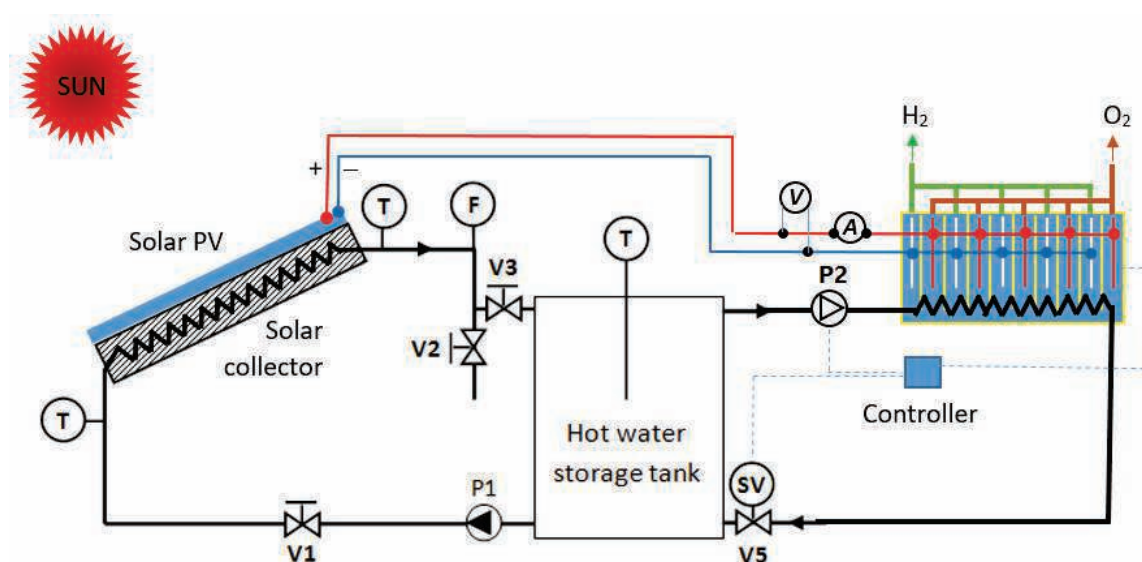
ระบบผลิตไฟฟ้าและน้ำร้อนร่วมพลังงานแสงอาทิตย์ที่ใช้ในการศึกษาครั้งนี้ ประกอบด้วยแผงเซลล์แสงอาทิตย์แบบอ่อนน้อมเย็บซิลิโคนที่ทำงานร่วมกับแผงสะท้อนความร้อน ผลิตน้ำร้อนพลังงานแสงอาทิตย์แบบเรียบ (Flat Plate Hot Water Solar Collector) ที่ถูกประกอบเป็นชุดเดียวกัน และถังน้ำร้อน (ถังแสตนดินรูปที่ 2 และ 3) ซึ่งระบบ PV/T นี้ใช้งานมาแล้ว 8 ปี มีพื้นที่รับแสงรวม 100 m² และใช้น้ำเป็นสารตัวกลาง โดยติดตั้งและทดสอบระบบที่ตำแหน่งละติจูด 14°2' เหนือ ลองจิจูด 100°43' ตะวันออก แผงทุกแผงมีฝาปิดกระจกชั้นเดียว (single glass cover) และทุกแผงหันหน้าไปทางทิศใต้ (faced due south) ทำมุมเอียงกับแนวระนาบ (tilted) 14° ทดลองในช่วงเวลา 9.00n.-17.00n.



รูปที่ 2 แผงเซลล์แสงอาทิตย์ที่ทำงานร่วมกับแผงผลิตน้ำร้อนพลังงานแสงอาทิตย์แบบเรียบที่ใช้ในการศึกษา



รูปที่ 3 ถังเก็บน้ำร้อนที่ใช้ในการทดลอง



รูปที่ 1 แผนผังของระบบที่ใช้ในการศึกษานี้

2.2 ระบบผลิตไฮโดรเจนด้วยวิธีแยกน้ำด้วยไฟฟ้า

ระบบผลิตไฮโดรเจนตันแบบที่ใช้ในการศึกษานี้ใช้กระบวนการแยกน้ำด้วยไฟฟ้า ดังแสดงดังรูปที่ 4 โดยผนังของถังปฏิกรณ์ทำจากแผ่นอะคิลิกหนา 10 mm ปริมาตร 100X52X40 cm³ ข้ออิเล็กโทรดทำจากแผ่นสแตนเลส 304 หนา 2 mm โดยแก๊สไฮโดรเจนและออกซิเจนที่ผลิตได้มีการกักเก็บแยกออกจากกัน โดยการศึกษานี้จะใช้สารละลายอิเล็กโทรไลต์และสภาวะการทำงานที่ดีที่สุดที่รายงานไว้ใน [8]



รูปที่ 4 โครงสร้างของถังปฏิกรณ์ตันแบบ

2.3 เครื่องมือวัดและอุปกรณ์บันทึกข้อมูล

บันทึกค่ารังสีแสงอาทิตย์ด้วยไพรานิเมตอร์ (Pyranometer) ยี่ห้อ EKO รุ่น S11107.064 ร่วมกับอุปกรณ์บันทึกข้อมูล (Data Logger) ยี่ห้อ GRAPHTEC รุ่น GL 820 (ดังรูปที่ 5) โดยที่ติดตั้งในรูนาบเดียวกับแผงเซลล์แสงอาทิตย์ในช่วงสภาวะคงตัว โดยต่อวงจรไฟฟ้าดังรูปที่ 1 ประสิทธิภาพของแผงเซลล์แสงอาทิตย์จากสมการที่ (1) และ (2) ตามลำดับ



รูปที่ 5 อุปกรณ์บันทึกข้อมูลที่ใช้ในการทดลอง

3. การวิเคราะห์ประสิทธิภาพของระบบ

การทดสอบสมรรถนะของระบบทำตามมาตรฐานการทดสอบแสงสมรรถนะร้อนแสงอาทิตย์ของ ISO 9459-2 [9] โดยมีขั้นตอนการทดลองดังเสนอไว้ใน [10]

3.1 การวิเคราะห์ประสิทธิภาพของระบบ PV/T

- พลังงานไฟฟ้า

การทดสอบสมรรถนะของระบบผลิตไฟฟ้าพลังงานแสงอาทิตย์ทำการทดสอบเพื่อหาค่าปริมาณไฟฟ้าที่ผลิตได้ (output electrical energy) และประสิทธิภาพของแผงเซลล์แสงอาทิตย์ในช่วงสภาวะคงตัว โดยต่อวงจรไฟฟ้าดังรูปที่ 1 ประสิทธิภาพของแผงเซลล์แสงอาทิตย์จากสมการที่ (1) และ (2) ตามลำดับ

$$E_{elec} = V \times I \times t \quad (1)$$

$$\eta_{PV} = \frac{E_{elec}}{A_c \times G_T \times t} \quad (2)$$

โดยที่

E_{elec} = พลังงานไฟฟ้าที่ผลิตได้ในช่วงเวลาทดสอบ [J]

V = แรงดันไฟฟ้าขณะที่ทำการทดสอบ [volt]

I = กระแสไฟฟ้าขณะที่ทำการทดสอบ [amp]

t = เวลาที่ใช้ในการทดสอบ [sec]

A_c = พื้นที่รับแสงของแผง [m²]

G_T = ค่าพลังงานแสงอาทิตย์ [W/m²]

- พลังงานความร้อน

เป็นการทดสอบเพื่อหาประสิทธิภาพของระบบทำนำ้ร้อนพลังงานแสงอาทิตย์ โดยพิจารณาจากอัตราส่วนของพลังงานความร้อนที่ผลิตได้ (output heat) ต่อพลังงานแสงอาทิตย์ที่ตกกระทบบนพื้นที่รับแสงทั้งหมดในช่วงเวลาที่ทำการทดสอบระบบ โดยคำนวณจากสมการที่ (3) และ (4) [11] ตามลำดับ

$$Q_u = \dot{m} \times c_p (T_{c,o} - T_{c,i}) \times t \quad (3)$$

และ

$$\eta_c = \dot{Q}_u / (A_c \times G_T \times t) \quad (4)$$

โดยที่

Q_u = อัตราการผลิตความร้อน [J]

\dot{m} = อัตราการไหลเชิงมวลของน้ำร้อน [kg/s]

$$\begin{aligned}
 c_p &= \text{ค่าความร้อนจำเพาะของน้ำร้อน} \\
 &= 4.19 \text{ kJ/kg. } ^\circ\text{C} \\
 T_{c,o} &= \text{อุณหภูมิที่ทางออกของแสง [}^\circ\text{C}] \\
 T_{c,i} &= \text{อุณหภูมิที่ทางเข้าของแสง [}^\circ\text{C}] \\
 \eta_c &= \text{ประสิทธิภาพของแสงเก็บความร้อน} \\
 A_c &= \text{พื้นที่รับแสงของแสงเก็บความร้อน [m]} \\
 G_T &= \text{ค่าพลังงานแสงอาทิตย์ [W/m}^2]
 \end{aligned}$$

ประสิทธิภาพของระบบ PV/T โดยรวม คำนวณได้จากสมการที่ (5)

$$\eta_{PVT} = \frac{E_{elec} + Q_u}{A_c \times G_T \times t} \quad (5)$$

3.2 ประสิทธิภาพของระบบผลิตไฮโดรเจน

เป็นการทดสอบเพื่อหาประสิทธิภาพของค่าอัตราการผลิตไฮโดรเจนในหน่วยความร้อนโดยเฉลี่ย (คำนวณจากสมการที่ (6)) ต่อพลังงานไฟฟ้าที่ป้อนเข้าบัญชีรายรับ (คำนวณจากสมการที่ (7) ในช่วงสภาวะคงตัว การกักเก็บแก๊สไฮโดรเจนทำโดยการแทนที่น้ำแล้วจดบันทึกเพื่อหาปริมาตรของแก๊สที่ผลิตในแต่ละช่วงเวลา

$$E_{H2} = V_{H2} \times HV_{H2} \quad (6)$$

และ

$$\eta_{reac} = \frac{E_{H2}}{V \times I \times t} \quad (7)$$

โดยที่

$$\begin{aligned}
 E_{H2} &= \text{พลังงานไฮโดรเจนที่ผลิตได้ [J]} \\
 V_{H2} &= \text{ปริมาตรของแก๊สไฮโดรเจนที่ผลิตได้ [ml]} \\
 HV_{H2} &= \text{ค่าความร้อนของแก๊สไฮโดรเจน} \\
 &= 11.71 \text{ J/ml} \\
 \eta_{rea} &= \text{ประสิทธิภาพของปฏิกิริณ์ผลิตไฮโดรเจน [-]} \\
 V &= \text{ความต่างศักย์ไฟฟ้าเฉลี่ยในช่วงทดสอบ [V]} \\
 I &= \text{กระแสไฟฟ้าเฉลี่ยในช่วงทดสอบ [amp]} \\
 t &= \text{เวลาที่ใช้ในการทดสอบ [sec]}
 \end{aligned}$$

3.3 ประสิทธิภาพของระบบผลิตไฮโดรเจนโดยรวม

ประสิทธิภาพของระบบผลิตแก๊สไฮโดรเจนที่ใช้พลังงานไฟฟ้าและความร้อนที่ผลิตมาจากการบบผลิตไฟฟ้าและน้ำร้อนพลังงานแสงอาทิตย์โดยรวม (Overall System Efficiency) คำนวณได้จากสมการที่ (8)

$$\eta_{overall} = \frac{E_{H2}}{A_c \times G_T \times t} \quad (8)$$

3. ผลการทดลอง

การทดสอบสมรรถนะของระบบผลิตไฮโดรเจนที่เสนอแนะได้ดำเนินการทดสอบเป็นเวลาไม่น้อยกว่า 3 วันซึ่งโดยทั่วไปสามารถทำการวิเคราะห์สมรรถนะของระบบโดยใช้ข้อมูลที่เป็นค่าเฉลี่ยของชุดข้อมูลที่มีค่าพลังงานแสงอาทิตย์ใกล้เคียงกัน แต่เพื่อแสดงให้เห็นถึงสมรรถนะรายวัน บทความนี้จะนำเสนอสมรรถนะของระบบเป็นรายวันในช่วงที่เข้าสู่สภาวะคงตัวมากที่สุดเท่านั้น ซึ่งมาตรฐาน ASHRAE 93-1986 กำหนดสภาวะคงตัวไว้ดังนี้:

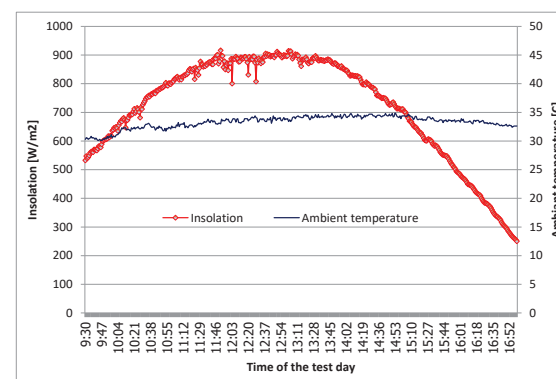
Solar radiation : >790 W/m²; ±32 W/m²

Inlet water temperature : ±1 °C

Ambient temperature : ±1.5 °C

3.1 ประสิทธิภาพของระบบ PV/T

รูปที่ 6 แสดงค่าของความเข้มของรังสีแสงอาทิตย์ที่เวลาต่างๆ ตลอดทั้งวันที่ทำการทดลอง จากราฟแสดงให้เห็นว่าค่าความเข้มแสงอาทิตย์ (insolation) สูงสุดเมื่อค่าประมาณ 916 W/m² อุณหภูมิบรรยายกาศอยู่ในช่วงประมาณ 30-35 °C

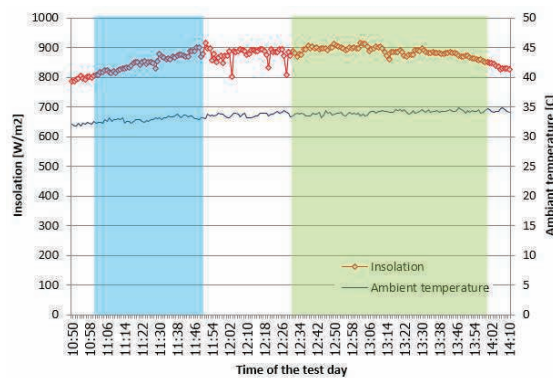


รูปที่ 6 รังสีแสงอาทิตย์ในวันที่ทำการทดสอบ

ในการทดสอบปฏิกิริณ์ผลิตแก๊สไฮโดรเจนใช้สารละลายโซเดียมไฮดรอกไซด์ (NaOH) เป็นอิเล็กโทรไลต์ เนื่องจากทดสอบแล้วพบว่าให้ผลดีกว่าสารละลายอื่น [8] อีกทั้งยังหาซื้อได้ง่ายตามห้องตลาดและราคาถูก โดยใช้ความเข้มข้นของสารละลายเท่ากับ 17% (โดยมวล) เป็นความเข้มข้นที่ผลิตแก๊สได้ดีที่สุด ระยะทางของ

อิเล็กโทรดที่เหมาะสมที่สุดคือ 10 cm และจากการทดลองโดยใช้เซลล์แสงอาทิตย์กระแสตรงขนาดพื้นที่รับแสง 100 m² พบร่วมกับผลิตไฟฟ้าโดยใช้กระแสไฟฟ้าที่ผลิตจากเซลล์แสงอาทิตย์มีความเป็นไปได้

จากการประเมินประสิทธิภาพของระบบผลิตน้ำร้อนพลังงานแสงอาทิตย์ โดยการคำนวณด้วยสมการที่ (3) และ (4) พบร่วมกับในช่วงเวลาที่ระบบเข้าใกล้สภาวะคงตัวมากที่สุด (ช่วง 11:00-11:50 และ 12:30-14:00 แสดงดังรูปที่ 7) ระบบมีประสิทธิภาพดังแสดงในตารางที่ 1



รูปที่ 7 ในช่วงเวลาที่ระบบเข้าใกล้สภาวะคงตัวมากที่สุด

ตารางที่ 1 ประสิทธิภาพของระบบ PV/T

ส่วนที่พิจารณา (สมการที่ใช้)	ประสิทธิภาพ
- ระบบเซลล์แสงอาทิตย์ ผลิตไฟฟ้า (2)	8.29%
- ระบบผลิตน้ำร้อน (4)	17.68%
- ระบบ PV/T โดยรวม (5)	25.97%
- ปฏิกรณ์ผลิตแก๊สไฮโดรเจน (7)	7.01%
- ระบบผลิตแก๊สไฮโดรเจนด้วย PV/T (8)	0.06%

4. สรุปผลการศึกษา

ระบบผลิตแก๊สไฮโดรเจนที่ใช้พลังงานไฟฟ้าและความร้อนที่ผลิตมาจากการระบบผลิตไฟฟ้าและน้ำร้อนพลังงานแสงอาทิตย์ถูกทดสอบเพื่อหาค่าประสิทธิภาพของระบบทั้งการวิเคราะห์ประสิทธิภาพของระบบย่อยและระบบโดยรวม ผลการศึกษาพบว่าระบบมีประสิทธิภาพของเซลล์แสงอาทิตย์มีค่าค่อนข้างต่ำเท่ากับ 8.29% ซึ่งพลังงานไฟฟ้าที่ผลิตได้จากเซลล์แสงอาทิตย์ที่ผลิตได้ในปริมาณที่น้อยนิดถูกนำไปใช้ในการผลิตแก๊สไฮโดรเจนด้วยวิธีแยกน้ำด้วยไฟฟ้า จึงผลิตไฟฟ้าได้ในปริมาณต่ำ ประกอบกับปฏิกรณ์มีประสิทธิภาพค่อนข้างต่ำเท่ากับ 7.01% เมื่่าวา

จะมีการเพิ่มอุณหภูมิของอิเล็กโทรไลด์โดยใช้น้ำร้อนจากระบบผลิตน้ำร้อนซึ่งมีประสิทธิภาพสูงประมาณ 25.97% จึงมีปริมาณมากเกินความต้องการ จากการทดสอบแสดงให้เห็นว่าประสิทธิภาพเชิงพลังงานของระบบที่เสนอ มีค่าต่ำมากเพียง 0.06% เท่านั้น ซึ่งจุดที่ต้องปรับปรุงคือให้ดีขึ้นเพื่อให้ประสิทธิภาพรวมสูงขึ้นนั้น จำเป็นต้องปรับปรุงทั้งระบบผลิตไฟฟ้าด้วยเซลล์แสงอาทิตย์และปฏิกรณ์ผลิตแก๊สไฮโดรเจน ซึ่งระบบย่อยทั้งสองมีประสิทธิภาพค่อนข้างต่ำ

5. กิตติกรรมประกาศ

ผู้เขียนบทขอความขอบคุณคณะวิศวกรรมศาสตร์ มหาวิทยาลัยเทคโนโลยีราชมงคลรัตนบุรี ที่สนับสนุนงบประมาณในการวิจัยและเผยแพร่บทความครั้งนี้

6. เอกสารอ้างอิง

- [1] P.P Edwards, V.L Kuznetsov, W.I.F David, Hydrogen energy, Hydrogen Energy.29, 677–685. doi:10.1016/j.ijhydene.2003.09.006.
- [2] Md Mamoon Rashid, Mohammed K. Al Mesfer, Hamid Naseem, Mohd Danish, Hydrogen Production by Water Electrolysis: A Review of Alkaline Water Electrolysis, PEM Water Electrolysis and High Temperature Water Electrolysis, International Journal of Engineering and Advanced Technology (IJEAT) ISSN: 2249 – 8958, Volume 4 (3), 2015.
- [3] Mario Conte, Francesco Di Mario, Agostino Iacobazzi, Antonio Mattucci, Angelo Moreno and Marina Ronchetti, Energies 2009, 2, 150-179; doi:10.3390/en20100150.
- [4] Tetsuhiko Maeda, Yuji Nagata, Naruki Endo & Masayoshi Ishida (2016) Effect of water electrolysis temperature of hydrogen production system using direct coupling photovoltaic and water electrolyzer, Journal of International Council on Electrical Engineering, 6:1, 78-83, DOI: 10.1080/22348972.2016.1173783.
- [5] M.Hassen Sellamia, K. Loudiyi, Electrolytes behavior during hydrogen production by solar

energy, Renewable and Sustainable Energy Reviews 70 (2017) 1331–1335.

[5] Boonrit Prasartkaew and Amnaj Ngernplabpla, Investigation on the Performance of a Paraboloids Heliostat for Concentrated Central Receiver Solar Collector, 2013 International Conference on Frontiers of Environment, Energy and Bioscience (ICFEEB 2013), Beijing, China, October 24-25, 2013.

[7] A.L. Yuvaraj and D. Santhanaraj, A Systematic Study on Electrolytic Production of Hydrogen Gas by Using Graphite as Electrode, Materials Research, 2014, 17(1), pp. 83-87.

[8] อิศกฤตา โลหพรหม, ณัฐรพงษ์ มณีพิพิญ และ บุณย์ ฤทธิ์ ประสานแก้ว, การผลิตแก๊สไฮโดรเจนโดยใช้พลังงานแสงอาทิตย์, การประชุมวิชาการเครือข่ายวิศวกรรมเครื่องกลแห่งประเทศไทย ครั้งที่ 28, 15-17 ตุลาคม 2557.

[9] ISO. (1995). Domestic water heating systems_Part 2, outdoor test methods for system performance characterization and yearly performance prediction of solar-only systems. ISO 9459-2.

[10] พงษ์ศักดิ์ พูลศรี, นานพ แย้มแพง, จักรวาล บุญหวาน และ บุณย์ฤทธิ์ ประสานแก้ว, การศึกษาสมรรถนะของระบบผลิตไฟฟ้าและน้ำร้อนพลังงานแสงอาทิตย์, การประชุมวิชาการเครือข่ายวิศวกรรมเครื่องกลแห่งประเทศไทย ครั้งที่ 28, 15-17 ตุลาคม 2557.

[11] Duffie, J.A. and Beckman, W.A. (1991). Solar Engineering of Thermal Processes, second ed. John Wiley, New York.